

# Starkniederschlagshöhen und -spenden gemäß KOSTRA-DWD-2020

## Rasterfeld 194192

(Zeile 194, Spalte 192)

### Regenspende und Bemessungsniederschlagswerte in Abhängigkeit von Wiederkehrzeit T und Dauerstufe D

| Dauerstufe D |     | Wiederkehrzeit T |            |      |            |      |            |       |            |       |            |       |            |       |            |       |            |       |            |
|--------------|-----|------------------|------------|------|------------|------|------------|-------|------------|-------|------------|-------|------------|-------|------------|-------|------------|-------|------------|
|              |     | 1 a              |            | 2 a  |            | 3 a  |            | 5 a   |            | 10 a  |            | 20 a  |            | 30 a  |            | 50 a  |            | 100 a |            |
| min          | Std | mm               | l / (s ha) | mm   | l / (s ha) | mm   | l / (s ha) | mm    | l / (s ha) | mm    | l / (s ha) | mm    | l / (s ha) | mm    | l / (s ha) | mm    | l / (s ha) | mm    | l / (s ha) |
| 5            |     | 7,9              | 263,3      | 9,8  | 326,7      | 11,0 | 366,7      | 12,5  | 416,7      | 14,7  | 490,0      | 17,0  | 566,7      | 18,5  | 616,7      | 20,5  | 683,3      | 23,3  | 776,7      |
| 10           |     | 10,1             | 168,3      | 12,6 | 210,0      | 14,1 | 235,0      | 16,0  | 266,7      | 18,9  | 315,0      | 21,8  | 363,3      | 23,7  | 395,0      | 26,2  | 436,7      | 29,8  | 496,7      |
| 15           |     | 11,6             | 128,9      | 14,3 | 158,9      | 16,0 | 177,8      | 18,3  | 203,3      | 21,5  | 238,9      | 24,9  | 276,7      | 27,1  | 301,1      | 29,9  | 332,2      | 34,0  | 377,8      |
| 20           |     | 12,6             | 105,0      | 15,7 | 130,8      | 17,5 | 145,8      | 20,0  | 166,7      | 23,5  | 195,8      | 27,2  | 226,7      | 29,6  | 246,7      | 32,7  | 272,5      | 37,2  | 310,0      |
| 30           |     | 14,3             | 79,4       | 17,7 | 98,3       | 19,8 | 110,0      | 22,5  | 125,0      | 26,5  | 147,2      | 30,6  | 170,0      | 33,3  | 185,0      | 36,9  | 205,0      | 41,9  | 232,8      |
| 45           |     | 16,0             | 59,3       | 19,9 | 73,7       | 22,2 | 82,2       | 25,3  | 93,7       | 29,8  | 110,4      | 34,5  | 127,8      | 37,5  | 138,9      | 41,4  | 153,3      | 47,1  | 174,4      |
| 60           | 1   | 17,4             | 48,3       | 21,5 | 59,7       | 24,1 | 66,9       | 27,5  | 76,4       | 32,4  | 90,0       | 37,4  | 103,9      | 40,7  | 113,1      | 45,0  | 125,0      | 51,1  | 141,9      |
| 90           | 1,5 | 19,5             | 36,1       | 24,1 | 44,6       | 27,0 | 50,0       | 30,8  | 57,0       | 36,2  | 67,0       | 41,9  | 77,6       | 45,5  | 84,3       | 50,4  | 93,3       | 57,3  | 106,1      |
| 120          | 2   | 21,1             | 29,3       | 26,1 | 36,3       | 29,2 | 40,6       | 33,3  | 46,3       | 39,2  | 54,4       | 45,3  | 62,9       | 49,3  | 68,5       | 54,5  | 75,7       | 62,0  | 86,1       |
| 180          | 3   | 23,6             | 21,9       | 29,2 | 27,0       | 32,7 | 30,3       | 37,3  | 34,5       | 43,9  | 40,6       | 50,7  | 46,9       | 55,1  | 51,0       | 61,0  | 56,5       | 69,3  | 64,2       |
| 240          | 4   | 25,5             | 17,7       | 31,6 | 21,9       | 35,4 | 24,6       | 40,3  | 28,0       | 47,5  | 33,0       | 54,8  | 38,1       | 59,6  | 41,4       | 66,0  | 45,8       | 75,0  | 52,1       |
| 360          | 6   | 28,5             | 13,2       | 35,3 | 16,3       | 39,5 | 18,3       | 45,0  | 20,8       | 53,0  | 24,5       | 61,2  | 28,3       | 66,6  | 30,8       | 73,7  | 34,1       | 83,8  | 38,8       |
| 540          | 9   | 31,8             | 9,8        | 39,4 | 12,2       | 44,1 | 13,6       | 50,3  | 15,5       | 59,2  | 18,3       | 68,4  | 21,1       | 74,4  | 23,0       | 82,2  | 25,4       | 93,5  | 28,9       |
| 720          | 12  | 34,4             | 8,0        | 42,6 | 9,9        | 47,7 | 11,0       | 54,4  | 12,6       | 64,0  | 14,8       | 73,9  | 17,1       | 80,4  | 18,6       | 88,9  | 20,6       | 101,1 | 23,4       |
| 1080         | 18  | 38,4             | 5,9        | 47,5 | 7,3        | 53,2 | 8,2        | 60,7  | 9,4        | 71,4  | 11,0       | 82,5  | 12,7       | 89,7  | 13,8       | 99,2  | 15,3       | 112,9 | 17,4       |
| 1440         | 24  | 41,5             | 4,8        | 51,4 | 5,9        | 57,5 | 6,7        | 65,6  | 7,6        | 77,2  | 8,9        | 89,2  | 10,3       | 97,0  | 11,2       | 107,3 | 12,4       | 122,0 | 14,1       |
| 2880         | 48  | 50,0             | 2,9        | 62,0 | 3,6        | 69,4 | 4,0        | 79,1  | 4,6        | 93,1  | 5,4        | 107,6 | 6,2        | 117,0 | 6,8        | 129,4 | 7,5        | 147,2 | 8,5        |
| 4320         | 72  | 55,8             | 2,2        | 69,2 | 2,7        | 77,4 | 3,0        | 88,3  | 3,4        | 103,9 | 4,0        | 120,0 | 4,6        | 130,6 | 5,0        | 144,4 | 5,6        | 164,2 | 6,3        |
| 5760         | 96  | 60,3             | 1,7        | 74,8 | 2,2        | 83,7 | 2,4        | 95,4  | 2,8        | 112,3 | 3,2        | 129,7 | 3,8        | 141,1 | 4,1        | 156,1 | 4,5        | 177,5 | 5,1        |
| 7200         | 120 | 64,1             | 1,5        | 79,4 | 1,8        | 88,9 | 2,1        | 101,3 | 2,3        | 119,3 | 2,8        | 137,8 | 3,2        | 149,9 | 3,5        | 165,8 | 3,8        | 188,5 | 4,4        |
| 8640         | 144 | 67,3             | 1,3        | 83,4 | 1,6        | 93,4 | 1,8        | 106,5 | 2,1        | 125,3 | 2,4        | 144,7 | 2,8        | 157,5 | 3,0        | 174,1 | 3,4        | 198,0 | 3,8        |
| 10080        | 168 | 70,2             | 1,2        | 87,0 | 1,4        | 97,3 | 1,6        | 111,0 | 1,8        | 130,6 | 2,2        | 150,9 | 2,5        | 164,2 | 2,7        | 181,5 | 3,0        | 206,5 | 3,4        |

# Starkniederschlagshöhen und -spenden gemäß KOSTRA-DWD-2020

## Rasterfeld 194192

(Zeile 194, Spalte 192)

### Örtliche Unsicherheiten in Abhängigkeit von Wiederkehrzeit T und Dauerstufe D

| Dauerstufe D |     | Wiederkehrzeit T |     |     |     |      |      |      |      |       |
|--------------|-----|------------------|-----|-----|-----|------|------|------|------|-------|
|              |     | 1 a              | 2 a | 3 a | 5 a | 10 a | 20 a | 30 a | 50 a | 100 a |
| min          | Std | ± %              | ± % | ± % | ± % | ± %  | ± %  | ± %  | ± %  | ± %   |
| 5            |     | 16               | 17  | 17  | 18  | 19   | 19   | 20   | 20   | 20    |
| 10           |     | 19               | 20  | 21  | 22  | 23   | 24   | 24   | 24   | 25    |
| 15           |     | 21               | 22  | 23  | 24  | 25   | 25   | 26   | 26   | 27    |
| 20           |     | 21               | 23  | 24  | 24  | 25   | 26   | 26   | 27   | 27    |
| 30           |     | 22               | 23  | 24  | 25  | 26   | 27   | 27   | 27   | 28    |
| 45           |     | 22               | 23  | 24  | 25  | 26   | 26   | 27   | 27   | 28    |
| 60           | 1   | 21               | 23  | 23  | 24  | 25   | 26   | 26   | 27   | 27    |
| 90           | 1,5 | 20               | 22  | 23  | 23  | 24   | 25   | 26   | 26   | 26    |
| 120          | 2   | 20               | 21  | 22  | 23  | 24   | 24   | 25   | 25   | 26    |
| 180          | 3   | 18               | 20  | 21  | 22  | 22   | 23   | 24   | 24   | 24    |
| 240          | 4   | 18               | 19  | 20  | 21  | 21   | 22   | 23   | 23   | 24    |
| 360          | 6   | 16               | 18  | 18  | 19  | 20   | 21   | 21   | 22   | 22    |
| 540          | 9   | 15               | 17  | 17  | 18  | 19   | 20   | 20   | 20   | 21    |
| 720          | 12  | 15               | 16  | 16  | 17  | 18   | 19   | 19   | 19   | 20    |
| 1080         | 18  | 14               | 15  | 15  | 16  | 17   | 18   | 18   | 18   | 19    |
| 1440         | 24  | 13               | 14  | 15  | 15  | 16   | 17   | 17   | 17   | 18    |
| 2880         | 48  | 13               | 13  | 14  | 14  | 15   | 15   | 16   | 16   | 16    |
| 4320         | 72  | 13               | 13  | 13  | 14  | 14   | 15   | 15   | 15   | 16    |
| 5760         | 96  | 13               | 13  | 13  | 14  | 14   | 14   | 15   | 15   | 15    |
| 7200         | 120 | 14               | 13  | 13  | 14  | 14   | 14   | 15   | 15   | 15    |
| 8640         | 144 | 14               | 14  | 14  | 14  | 14   | 14   | 15   | 15   | 15    |
| 10080        | 168 | 14               | 14  | 14  | 14  | 14   | 15   | 15   | 15   | 15    |

### Parameter für abweichende T und D

#### Lokationsparameter $\xi$ (Xi)

17,59576671

#### Skalenparameter $\alpha$ (Alpha)

5,84290732

#### Formparameter $\kappa$ (Kappa)

-0,1

#### 1. Koutsoyiannis-Parameter $\theta$ (Theta)

0,01570419

#### 2. Koutsoyiannis-Parameter $\eta$ (Eta)

0,72984568

Parameter für dauerstufenübergreifende Extremwertschätzung nach KOUTSOYIANNIS et al. 1998.

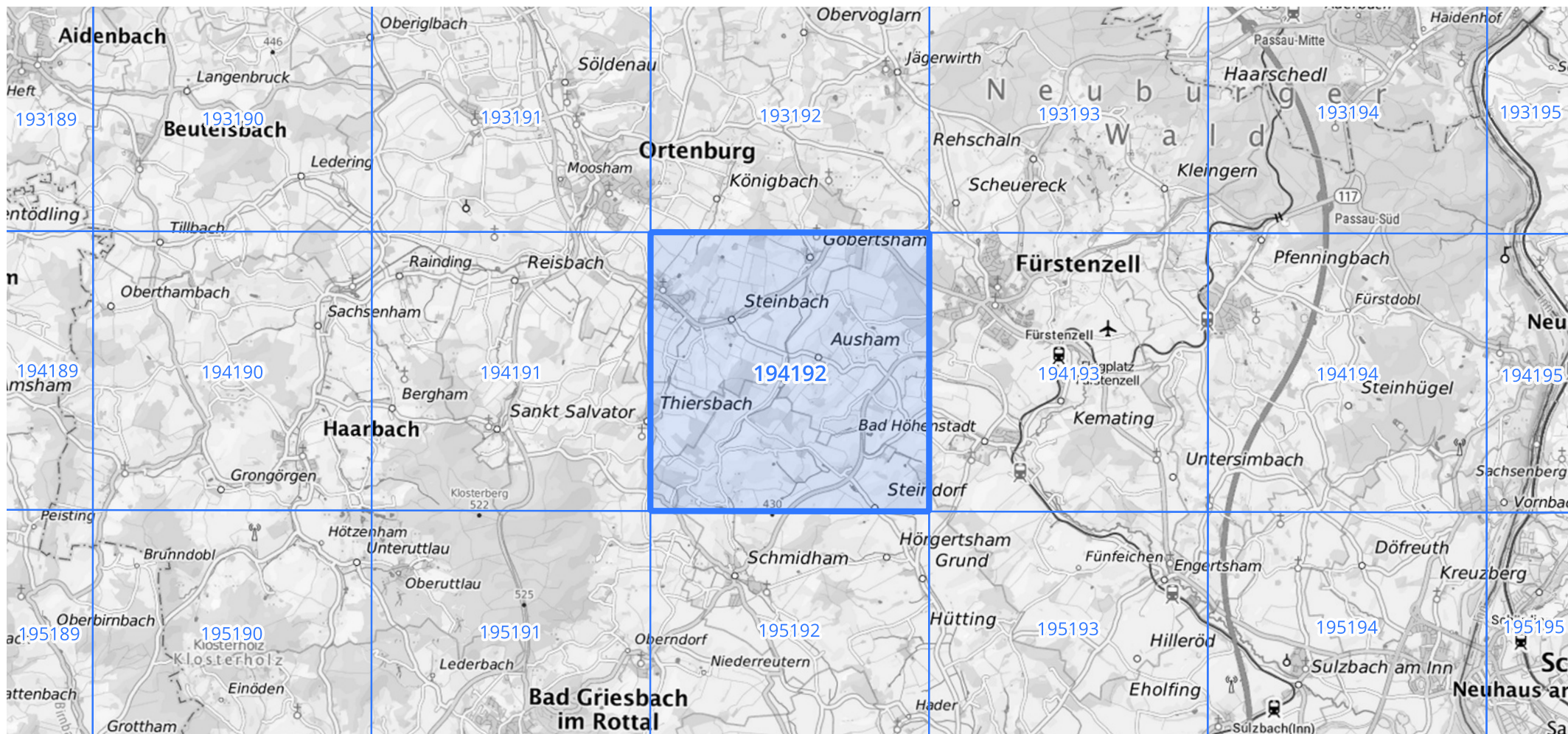
Siehe auch Anwendungshilfe zu KOSTRA-DWD-2020 des Deutschen Wetterdienstes.

# Starkniederschlagshöhen und -spenden gemäß KOSTRA-DWD-2020

## Rasterfeld 194192

(Zeile 194, Spalte 192)

Übersichtskarte des Rasterfeldes 194192, M 1 : 100 000



Quelle Rasterdaten: KOSTRA-DWD-2020 des Deutschen Wetterdienstes, Stand 12/2022.

Seite 3 von 3

Kartendarstellung: © Bundesamt für Kartographie und Geodäsie (2023), Datenquellen: [https://sgx.geodatenzentrum.de/web\\_public/gdz/datenquellen/Datenquellen\\_TopPlusOpen.html](https://sgx.geodatenzentrum.de/web_public/gdz/datenquellen/Datenquellen_TopPlusOpen.html)

Für die Richtigkeit und Aktualität der Angaben wird keine Gewähr übernommen. Erstellt 01/2023.